

長崎大学工学部 正員 伊勢田 哲也
 同 柵橋 由秀
 学生員 ○中原 正義
 同 坪井 泰

1. まえがき 軟弱粘土盤上における河川堤防の築造、改修は、堤防の安定性から考えると、許すかぎりの勾配をゆるくすることが望ましいが、河橋確保の立場から構造物などを置いて急勾配に計画されることが多い。そのため有明海周辺の河川堤防改修工事では、有明海特有の“ハドロ”に起因するシロ災害等が多発している。本文は佐賀県六角川河川堤防改修工事の崩壊現場を例にとり、復旧工法の検討に資する目的で着者の提案する非線形有限要素解析を適用し、限界盛土高、即時および最終次下量を求め、また根固工(捨石)の効果を確認した。

2. 現場の状況 六角川は佐賀県杵島郡福富町にあり、崩壊現場は河口より約3.3 km上流の地帯である。現場は最終計画盛土高7mのうち、2.7m箇所は、翌朝の引潮時に、突如新堤部が河にへすべりを起こしたものである(昭和49年2月)。捨石は表層より3m厚まで確認されており、崩壊後6ヶ月経過した時点で、シンクオールサンプラーにより、乱さばい試料を粘土層中位から採取し、本解析に用いる変形特性試験に供した。なお粘土層は10~14m厚さで堆積し軟弱粘土層下には、砂層、硬質シルト層が約3~5m互層をなしている。

3. 解析方法 直接反復法を用いた八面体応力-ひずみ理論に基づくFEM解析法によった。詳細は文献(2)にゆずる。

解析モデルは、図-1に示すように粘土層(4層)、旧堤、および盛土(7層)を要素数396、節点数235の三角形要素に分割し、左面は固定支え、右側面は移動支えを用い、Z方向に平面ひずみ状態とした。初期応力は盛土の要素の単位体積重量とせりとして求め、盛土の施工段階は施工完了盛土にのみ入れることにより行なわれる。解析は有効応力計算で行ない、捨石は表面力として与え、水位は危険側の干潮位とする。

本解析に必要な八面体応力-ひずみ関係式を得るため次の室内実験を行った。

a) 等方圧密試験; 0.4 kg/cm²の先行等方圧に加え、1日排水させた後、図2(a)の表に示す応力増分で時間間隔は1時間とした。
 b) 側圧一定試験; 非圧密、非排水条件、応力制御で、側圧は、0.5, 10, 20 kg/cm²の各々について、応力増分は0.2 kg/cm²、時間間隔は1時間とした。
 (a)(b)両試験のγ-E八面体成分が整理した

表1 六角川粘土特性値

	標高5~10m	標高10~14m
自然含水比 W _n	110~128%	100~40%
塑性指数 I _p	46.6~77.8%	46.6~21.6%
初期間隙比 e ₀	2.87~3.23	1.02~2.87
飽和度 S _v	98.0~100%	
圧縮指数 C _c	1.00~1.66	
圧密降伏力 P _y	0.35~0.71 kg/cm ²	

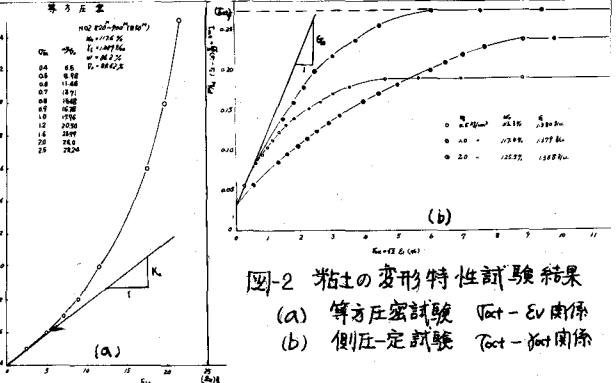
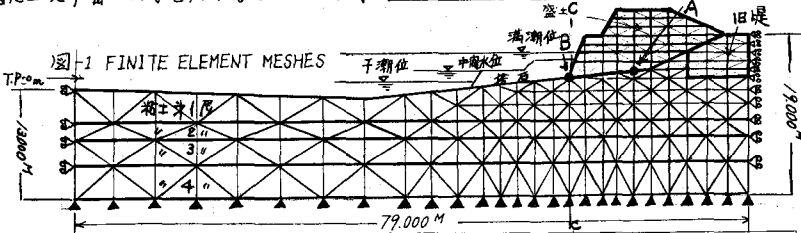


図-2 粘土の変形特性試験結果
 (a) 等方圧密試験 $\sigma'_{v1} - e_{v1}$ 関係
 (b) 側圧一定試験 $\sigma'_{v1} - e_{v1}$ 関係

結果は図2 (a)(b)のようである。図2 (a)(b)の曲線を Kondnerの双曲線式³⁾で近似すると(1),(2)式で表わされる。

$$\epsilon_v = \gamma \times \epsilon_{act} = \frac{\sigma_{act}}{a_1 + b_1 \sigma_{act}} \quad \text{----- (1)} \quad \tau_{act} = \frac{\gamma_{act}}{a_2 + b_2 \gamma_{act}} \quad \text{----- (2)}$$

こゝから(1),(2)式の定数は、図-2を参考に $a_1 = k_0$, $a_2 = 1/\epsilon_{v0}$, $b_1 = 1/(\epsilon_{v0})_0$, $b_2 = 1/(\tau_{act})_f$ が成り立つ。一方別圧一定試験のデータを整理して $(\tau_{act})_f = 0.139 \log_{10} \sigma_3 + 0.234$ ---- (3)

を得た。また現実の粘土地盤は初期応力の下で圧密を完了しているものと見直し、静水圧初期応力を σ_{acti} と見做す。と(1)式は $\sigma_{act} - \sigma_{acti} = a_1 \epsilon_v / (1 - b_1 \epsilon_v)$ ---- (4) とする。整理して、結局、八面体応力-ひずみ関係式は(5), (6)となる。
 $\sigma_{act} - \sigma_{acti} = k_0 \epsilon_v / \{1 - \epsilon_v / (\epsilon_v)_0\}$ ---- (5) $\tau_{act} = \gamma_{act} / \{1/\epsilon_{v0} + \gamma_{act} / (\tau_{act})_f\}$ ---- (6)

別に行なった同一モデルの盛土施工前の線形弾性FEMの初期応力解、 $(\sigma_i)_i, (\sigma_3)_i$ から粘土各層毎にその平均をとった $(\sigma_i)_{mean}, (\sigma_3)_{mean}$ より解析に必要の定数 $k_0, G_0, (\epsilon_v)_0, (\tau_{act})_f, (\sigma_{act})_i$ が表-2のように求まる。なお表には、(5),(6)式から求まる粘着力 C_c , 圧縮指数 C_c も付記する。

(5)式は $t = \infty$ の圧密完了後の最終沈下量を求める式であり、 $t = 0$ の即時沈下量を(流砂も含め)7) 求めたい場合は、(5)式の代わりに $\sigma_{act} = 1000 \epsilon_v$ を代入すればよい。解析の条件は、捨石の有る場合と無い場合、および即時沈下 ($t=0$) と最終沈下 ($t=\infty$)

表-2

* 表中 粘着力 C_c () 内の値は1軸試験より求めた崩壊直後の値である。

	$(\sigma_i)_{mean}$	$(\sigma_3)_{mean}$	k_0	G_0	$(\epsilon_v)_0$	$(\tau_{act})_f$	$(\sigma_{act})_i$	C_c (kPa)	C_c	γ (kg/m ³)
盛土材	/	/	100.0	23.3	∞	0.896	/	1.344	/	1.80
旧堤	/	/	100.0	23.3	∞	0.896	/	1.344	/	1.75 0.75
粘土第1層	0.518	0.172	3.30	40.0	0.250	0.120	0.345	0.180 (0.100)	1.1	0.4
2)	0.697	0.261	3.30	40.0	0.250	0.143	0.479	0.215 (0.100)	1.1	0.4
3)	0.773	0.321	3.30	40.0	0.250	0.157	0.647	0.235 (0.111)	1.1	0.4
4)	0.873	0.485	3.30	40.0	0.250	0.184	0.679	0.278 (0.249)	1.1	0.6

のとよど山につき盛土施工段階までの28ケースである。

4. 解析結果と考察

盛土は中央のA点(図-1参考)における即時沈下量(a), 最終沈下量(b)と盛土高との関係を図-3に示す。(a)は部分截荷荷重の荷重-沈下曲線と対応するもので、盛土高が3mを越えたと即時沈下量が急に増大するのがうかがわれ、また捨石の沈下抑制効果も読み取れる。またこの図より限界盛土高を決定できる。例えば、許容沈下量を50cmとすると、(捨石高は4.8m, (捨石有)では5.5m)とされる。盛土のり辰における側方流動を示した図-4からも、水平変位の非線形な増大傾向が読み取れる。(a),(b)両図を比較すると、水平変位 u は $t=0$ より $t=\infty$ の方が小さくなっているが、これは盛土施工後時間初期にセン断により河心に向けて膨み出したのり辰が圧密進行に伴い旧堤にむかって戻ることと意味する。この現象は、Biotの理論からも説明でき⁽⁴⁾、現場においても観測されている⁽⁵⁾。その他、図は省略したが、地盤中水平変位最大点を連ねると、予想されるすべり面に似た形状を示すという重要な発見を得ている。

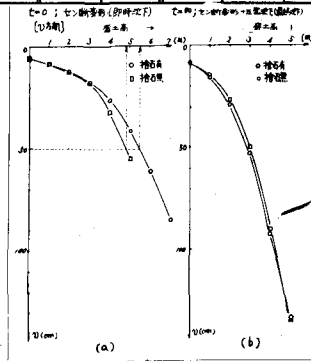


図-3 盛土高-沈下量関係 (盛土中層A点)

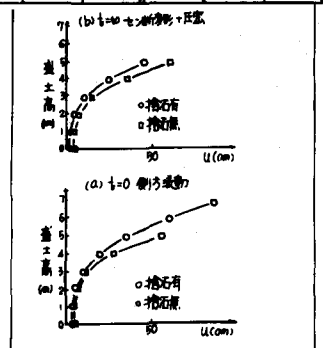


図-4 盛土高-水平変位関係 (盛土中層A点)

5. あとがき 資料と提供して戴いた建設省武蔵工事事務所の方々に衷心より感謝の意を表します。

参考文献) 1) 土の応力変形特性とFEM解析 伊勢田, 棚橋, 田村, 権 2) 2次元圧密のFEM解析 伊勢田, 棚橋, 西園 3) 1994年度土木学会秋季講演要録集 4) Hyperbolic Stress-Strain Response; Cohesive Soils, Kondner R.L. Proc ASCE, Vol. 89 5) 粘土地盤の沈下解析に関する考察 大橋正純他1名 才 国土工学会講演要録集 6) 載荷盛土による二層系地盤の側方変位測定に於いて(判報) 富永, 他2名 1990国土工学会石炭研究会報告集 1, 465~468 (1994)